

単位弦場に基づく解のまわりの 開弦の場の理論の真空構造

理研, 奈良女大理^A 岸本功, 高橋智彦^A

I.Kishimoto, T.Takahashi,
“Vacuum Structure around Identity-Based Solutions”
PTP122(2009)385[arXiv:0904.1095]



開弦の場の理論の非摂動論的真空

Schnabl解(2005) Ψ_{Sch}

作用:

$$S[\Psi_{\text{Sch}}] = \frac{1}{2\pi^2 g^2} \quad (\text{D-brane tension})$$

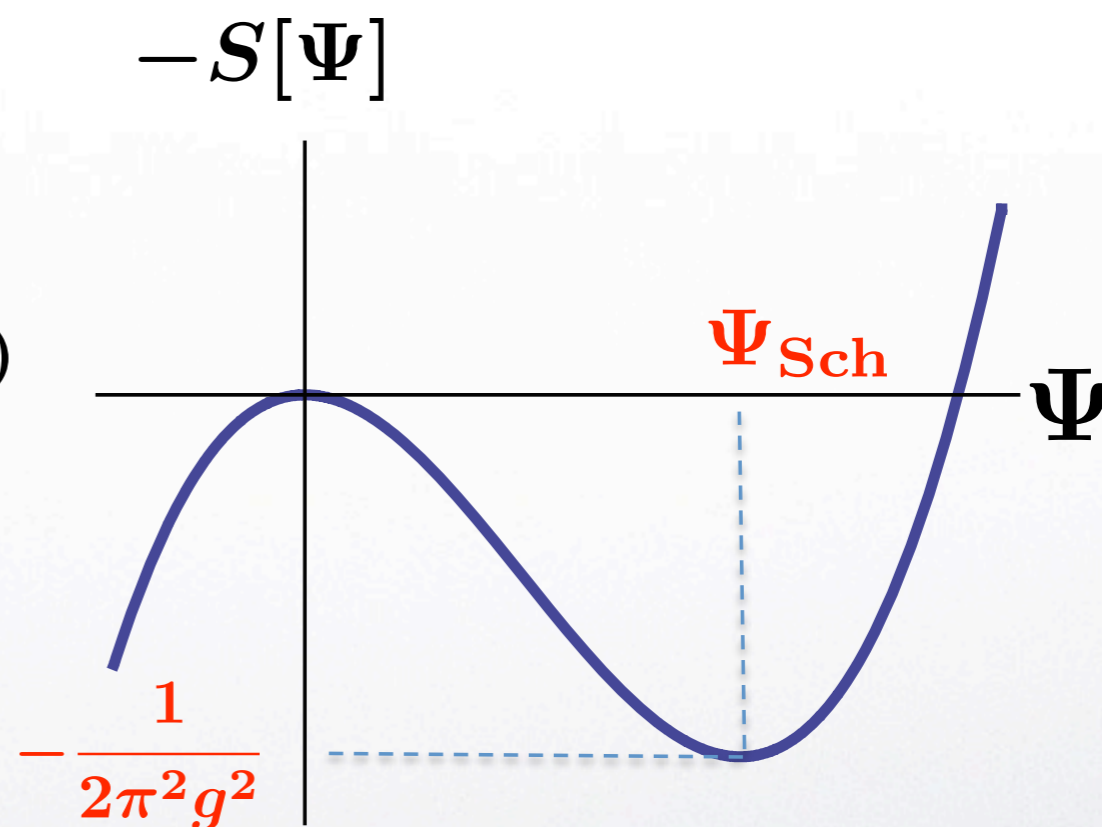
[Schnabl(2005), Okawa, Fuchs-Ktoyter(2006)]

gauge invariant overlap:

$$\mathcal{O}_V(\Psi_{\text{Sch}}) = \frac{1}{2\pi} \langle B | c_0^- | \Phi_V \rangle$$

[Ellwood, Kawano-I.K.-Takahashi(2008)]

(境界状態)





TT解 (1)

Schnabl以前の解析解: “identity-based”解

[Takahashi-Tanimoto(2002)]

$$\Psi_0 = Q_L(e^h - 1)\mathcal{I} - C_L((\partial h)^2 e^h)\mathcal{I}$$

$$Q_L(f) \equiv \int_{C_{\text{left}}} \frac{dz}{2\pi i} f(z) j_B(z) \quad C_L(f) \equiv \int_{C_{\text{left}}} \frac{dz}{2\pi i} f(z) c(z)$$

identity state:

$$|\mathcal{I}\rangle = \dots e^{-\frac{1}{2^k-1}L_{-2^k}} \dots e^{-\frac{1}{8}L_{-16}} e^{-\frac{1}{4}L_{-8}} e^{-\frac{1}{2}L_{-4}} e^{L_{-2}} |0\rangle$$

特に $h(z) = -\log(1 - Z(a))^2 - \sum_{n=1}^{\infty} \frac{(-1)^n}{n} Z(a)^n (z^{2n} + z^{-2n})$

$a \geq -1/2$ の場合を考える



TT解 (2)

形式的にはpure gaugeの形：

$$\Psi_0 = \exp(q_L(h)\mathcal{I})Q_B \exp(-q_L(h)\mathcal{I})$$

しかし... $\exp(\pm q_L(h)\mathcal{I}) = \exp(\pm q_L(h))\mathcal{I}$

$a = -1/2$ ではill-defined

→ 非自明な解？

ただし $S[\Psi_0]$, $\mathcal{O}_V(\Psi_0)$ の直接計算は困難



TT解まわりの理論

$$S_a[\Phi] = S[\Psi_0 + \Phi] - S[\Psi_0] = -\frac{1}{g^2} \left[\frac{1}{2} \langle \Phi, Q' \Phi \rangle + \frac{1}{3} \langle \Phi, \Phi * \Phi \rangle \right]$$

$$Q' = (1+a)Q_B + \frac{a}{2}(Q_2 + Q_{-2}) + 4aZ(a)c_0 - 2aZ(a)^2(c_2 + c_{-2}) \\ - 2a(1 - Z(a)^2) \sum_{n=2}^{\infty} (-1)^n Z(a)^{n-1} (c_{2n} + c_{-2n})$$

Q' のコホモロジー : [\[I.K.-Takahashi\(2002\)\]](#)

$a > -1/2$ Q_B と同じ \rightarrow Ψ_0 : pure gauge

$a = -1/2$ ($\#gh=1$ では) 自明 \rightarrow Ψ_0 : 非摂動論的真空 (?)



TT解まわりの理論の古典解

$$\text{運動方程式： } Q'\Phi + \Phi * \Phi = 0$$

Siegelゲージの数値解をレベルトランケーションで構成：

$$c_0 b_0 (c_0 L(a) \Phi^{(n+1)} + \Phi^{(n)} * \Phi^{(n+1)} + \Phi^{(n+1)} * \Phi^{(n)} - \Phi^{(n)} * \Phi^{(n)}) = 0$$

$$L(a) = \{b_0, Q'\} = (1+a)L_0 + \frac{a}{2}(L_2 + L_{-2}) + a(q_2 - q_{-2}) + 4(1+a - \sqrt{1+2a})$$

により $\Phi^{(n)} \mapsto \Phi^{(n+1)}$ が定まり、収束するまで繰り返す。

得られた解に対し、ポテンシャルの高さ、gauge invariant overlapを評価

$$f_a(\Phi) = 2\pi^2 \left(\frac{1}{2} \langle \Phi, c_0 L(a) \Phi \rangle + \frac{1}{3} \langle \Phi, \Phi * \Phi \rangle \right) \quad \mathcal{O}_V(\Phi) = 2\pi \langle \hat{\gamma}(1_c, 2) | \Phi_V \rangle_{1_c} | \Phi \rangle_2$$



安定解の構成

$a = 0$ ($Q' = Q_B$) の解を構成

$$\Phi^{(0)} = \frac{64}{81\sqrt{3}} c_1 |0\rangle \longrightarrow \Phi_1|_{a=0} \quad \text{従来の非摂動論的真空解}$$

(0,0)近似の非自明解

[Sen-Zwiebach(1999), Moeller-Taylor(2000), Gaiotto-Rastelli(2002)]

$a = \epsilon$ ($0 < |\epsilon| \ll 1$) の解を構成

$$\Phi^{(0)} = \Phi_1|_{a=0} \longrightarrow \Phi_1|_{a=\epsilon} \quad \text{ある配位に収束}$$

$a = 2\epsilon$ の解を構成

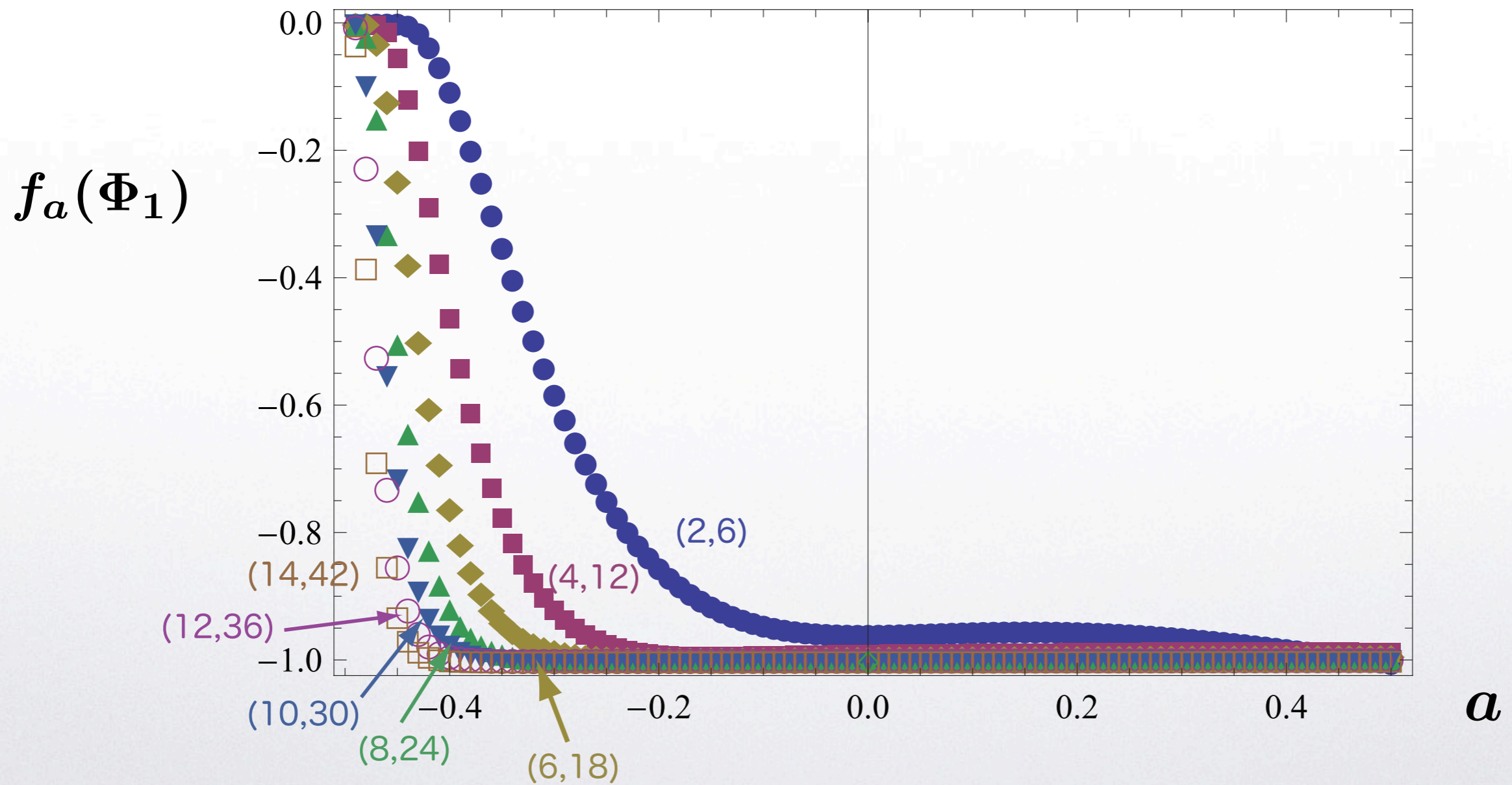
$$\Phi^{(0)} = \Phi_1|_{a=\epsilon} \longrightarrow \Phi_1|_{a=2\epsilon} \quad \text{ある配位に収束}$$

⋮



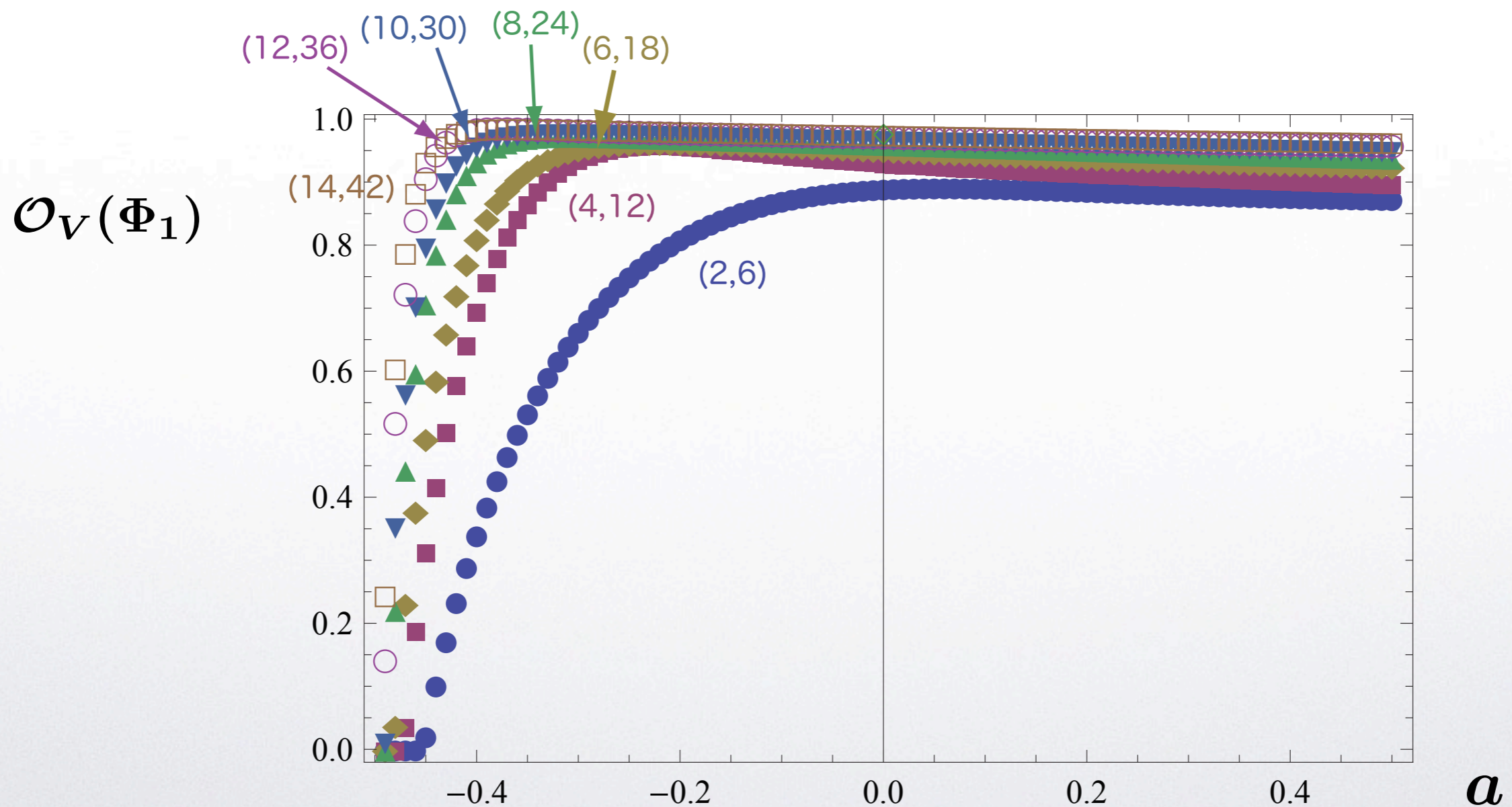
ポテンシャルの高さ (1)

[cf. Takahashi(2003)]





Gauge invariant overlap (I)





不安定解の構成

$a = -1/2$ の解を構成

$$\Phi^{(0)} = -\frac{32}{27\sqrt{3}} c_1 |0\rangle \longrightarrow \Phi_2|_{a=-1/2} \quad \text{ある配位に収束}$$

(0,0)近似の非自明解

$a = -1/2 + \epsilon$ ($0 < \epsilon \ll 1$) の解を構成

$$\Phi^{(0)} = \Phi_2|_{a=-1/2} \longrightarrow \Phi_2|_{a=-1/2+\epsilon} \quad \text{ある配位に収束}$$

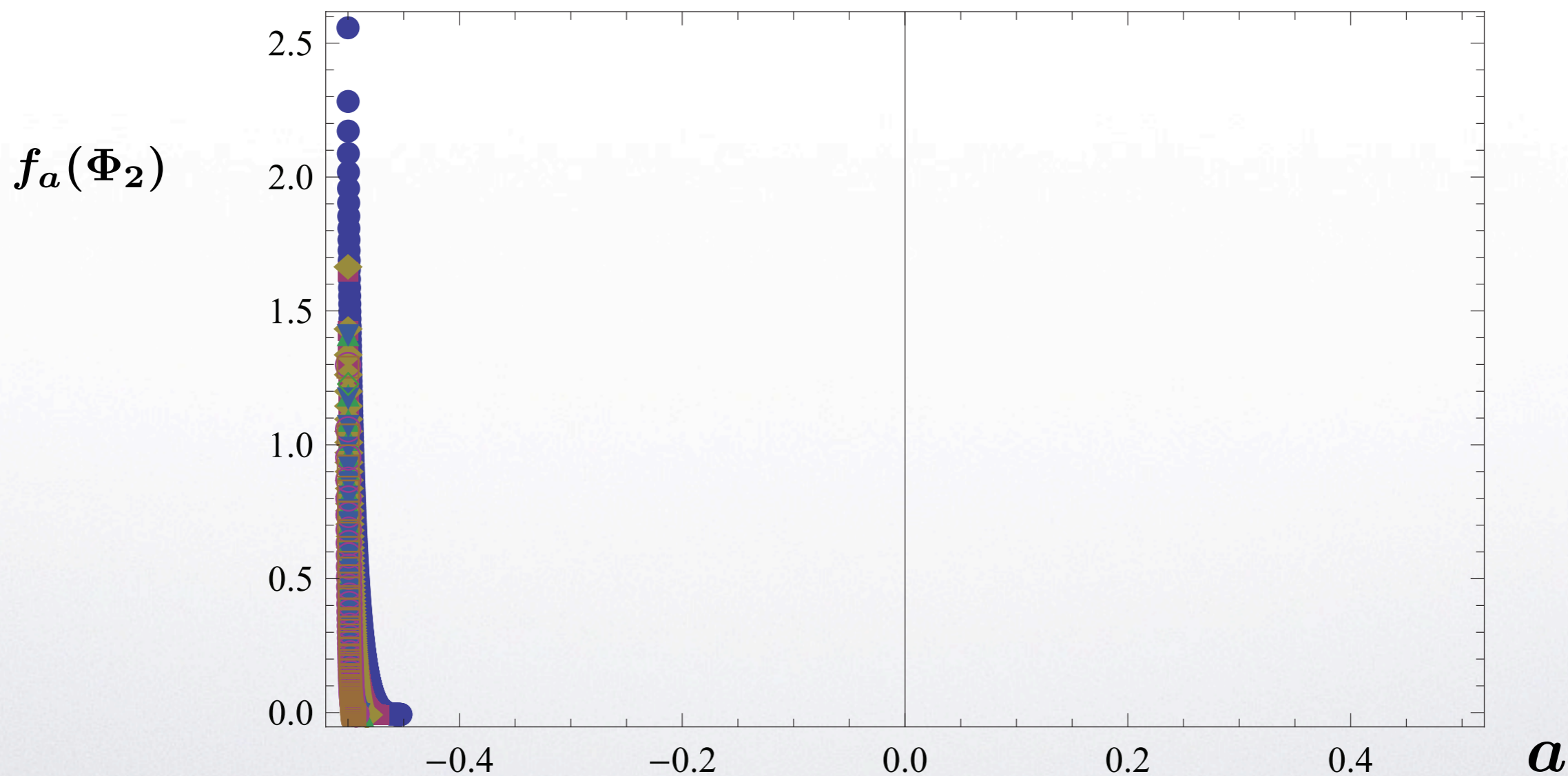
$a = -1/2 + 2\epsilon$ の解を構成

$$\Phi^{(0)} = \Phi_2|_{a=-1/2+\epsilon} \longrightarrow \Phi_2|_{a=-1/2+2\epsilon} \quad \text{ある配位に収束}$$

⋮

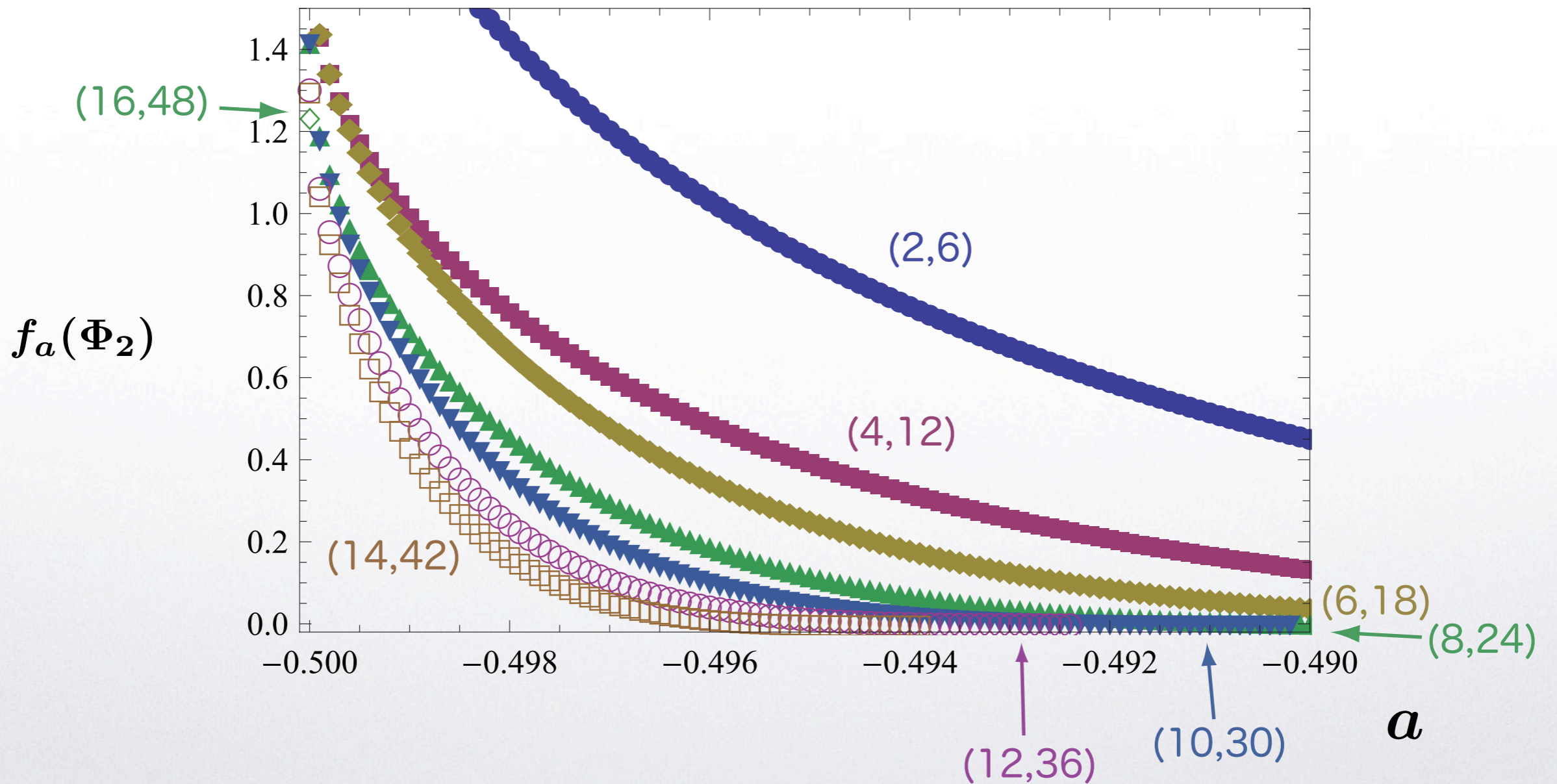


ポテンシャルの高さ (2)



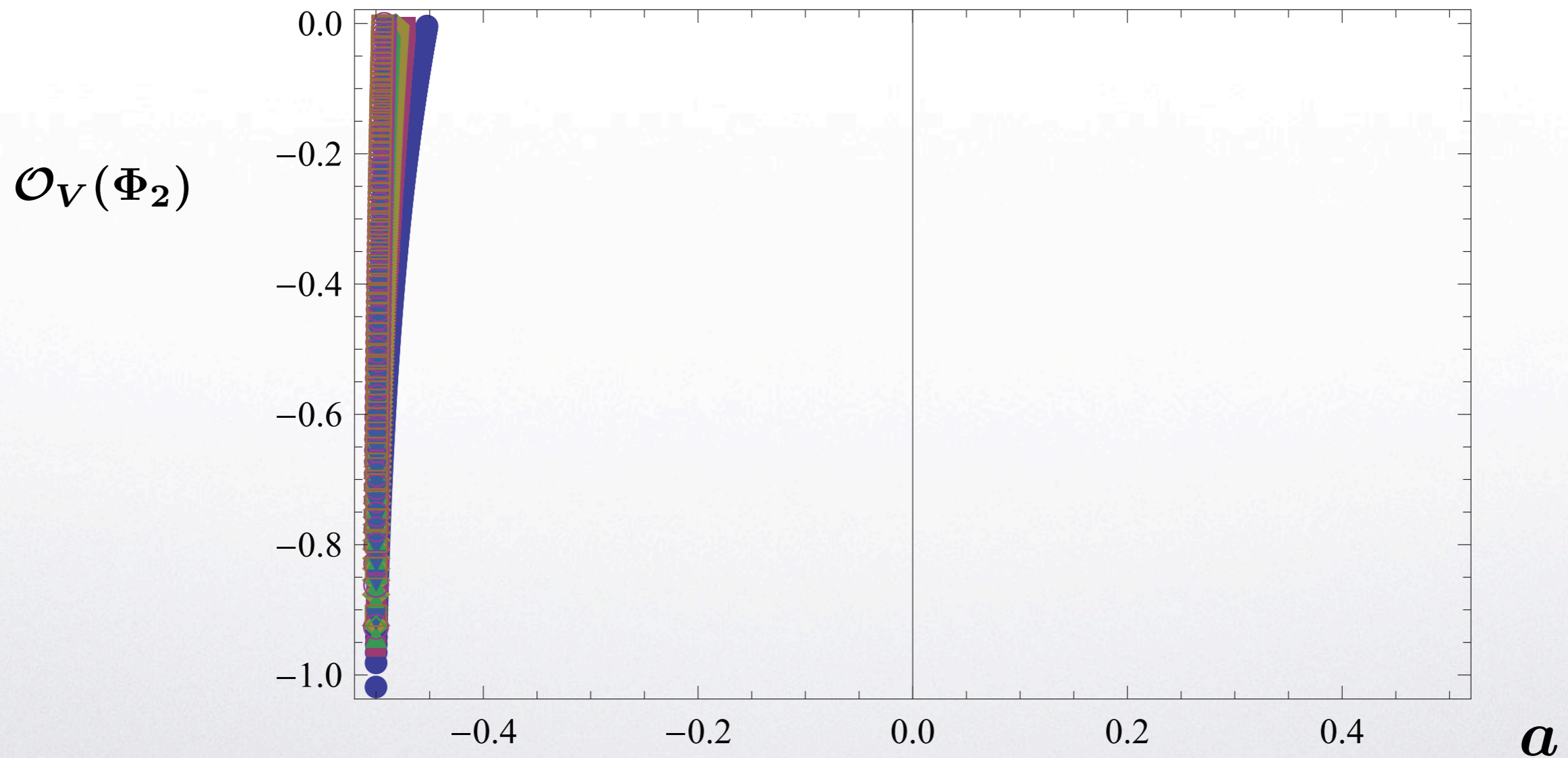


ポテンシャルの高さ (2)



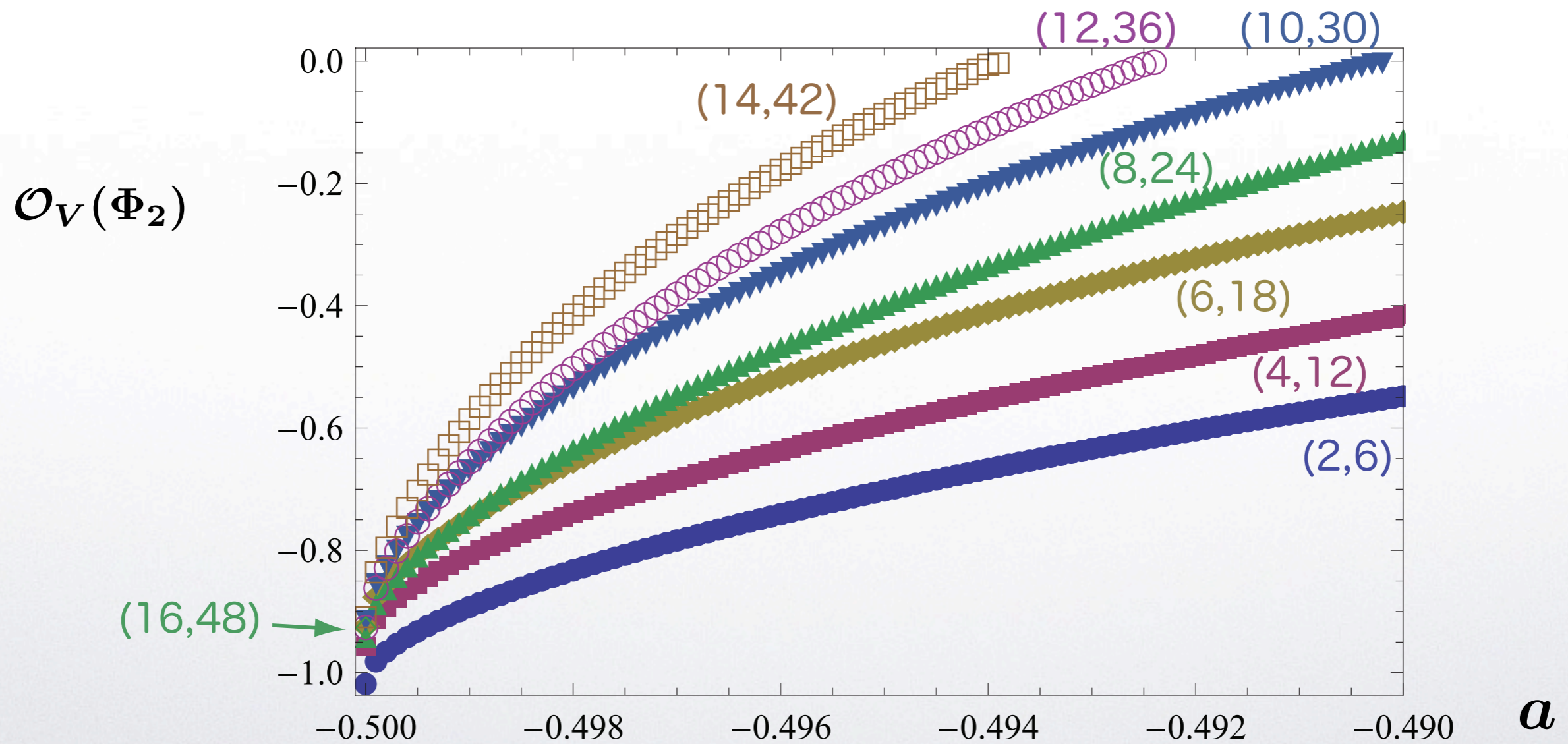


Gauge invariant overlap (2)





Gauge invariant overlap (2)





a = -1/2 での値

[cf. Zeze(2003), Drukker-Okawa(2005)]

(L,3L)	$f_a(\Phi_2)$	$\mathcal{O}_V(\Phi_2)$
(0,0)	2.3105795	-1.0748441
(2,6)	2.5641847	-1.0156983
(4,12)	1.6550774	-0.9539832
(6,18)	1.6727496	-0.9207572
(8,24)	1.4193393	-0.9377548
(10,30)	1.4168893	-0.9110994
(12,36)	1.3035715	-0.9237917
(14,42)	1.2986472	-0.9056729
(16,48)	1.2357748	-0.9229035

特に $F_N(L) = \sum_{n=0}^N \frac{a_n}{(L+1)^n}$
を用いて外挿すると

(L,3L)	Extrapolation of $f_a(\Phi_2)$
$(4\infty, 12\infty)$	0.98107
$(4\infty+2, 12\infty+6)$	0.98146



a = -1/2 での値

[cf. Zeze(2003), Drukker-Okawa(2005)]

(L,3L)	$f_a(\Phi_2)$	$\mathcal{O}_V(\Phi_2)$
(0,0)	2.3105795	-1.0748441
(2,6)	2.5641847	-1.0156983
(4,12)	1.6550774	-0.9539832
(6,18)	1.6727496	-0.9207572
(8,24)	1.4193393	-0.9377548
(10,30)	1.4168893	-0.9110994
(12,36)	1.3035715	-0.9237917
(14,42)	1.2986472	-0.9056729
(16,48)	1.2357748	-0.9229035

(18,54) 1.2310583

2.3105795397154785609031280024794341443
 1.2387583677192679517233345198867766612
 1.2221495296185326488030975511378528608
 1.2310788266003449087458015975826697286
 1.2310582659850745165146593262939234137
 1.2310582617305556082237805171075706312
 1.2310582617305545728107057934508361541

特に $F_N(L) = \sum_{n=0}^N \frac{a_n}{(L+1)^n}$
 を用いて外挿すると

(L,3L)	Extrapolation of $f_a(\Phi_2)$
(4 ∞ ,12 ∞)	0.98107
(4 ∞ +2,12 ∞ +6)	0.98146

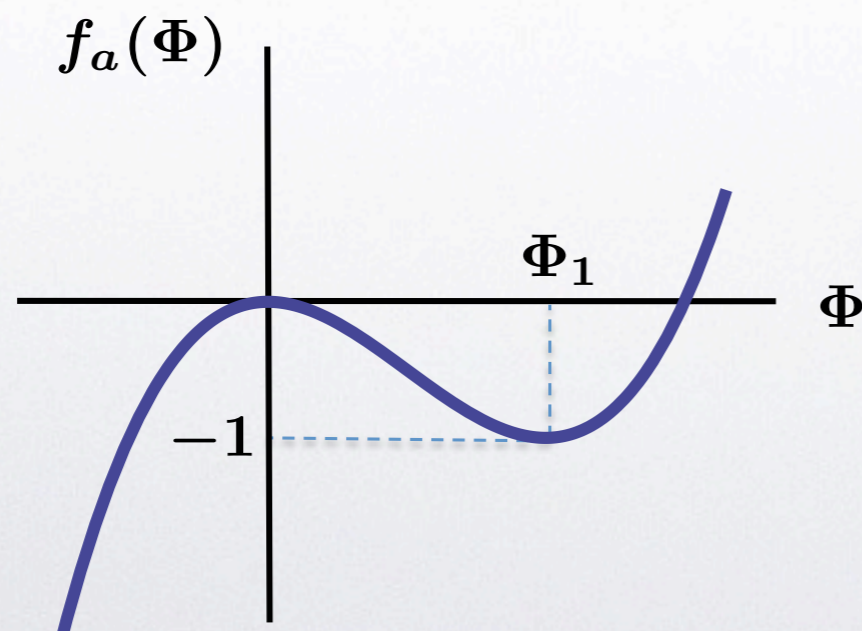
0.986803



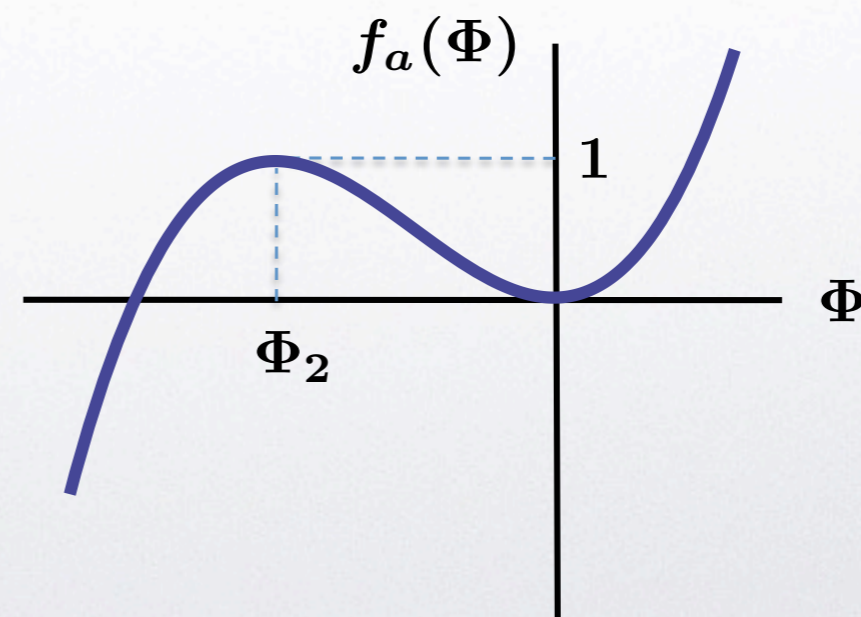
まとめと展望 (1)

- TT解まわりの理論の数値解を構成し、ポテンシャルの高さと gauge invariant overlap を評価した。
- 数値計算の結果から示唆されるTT解まわりの理論の真空構造：

$$a > -1/2$$



$$a = -1/2$$





まとめと展望 (2)

- 今回の数値計算の結果は、従来のTT解の解釈と整合する：

$$a > -1/2 \quad \Rightarrow \quad \Psi_0 \quad \text{:pure gauge}$$

$$a = -1/2 \quad \Rightarrow \quad \Psi_0 \quad \text{:非摂動論的真空}$$

- TT解 ($a=-1/2$) はSchnabl解と同等である可能性がある。そうだとすると、非摂動論的真空に対する別のアプローチを与える。
- しかしidentity-based解は“singular”？
- そもそもregularな解、あるいは弦の場の空間の定義？
-